

# Динамическая система на пространстве выпуклых четырёхугольников

Ю. Ю. КОЧЕТКОВ

Московский институт электроники

и математики им. А. Н. Тихонова

Высшей школы экономики

e-mail: yukochetkov@hse.ru, yuukochetkov@gmail.com

УДК 514.4

**Ключевые слова:** пространство выпуклых четырёхугольников, динамическая система.

## Аннотация

Рассмотрим семейство выпуклых четырёхугольников на плоскости с заданными углами и периметром  $2\pi$ . Набор длин сторон такого четырёхугольника — это точка в пространстве  $\mathbb{R}^4$ , а семейству отвечает конечный интервал  $I$  в этом пространстве. Середина интервала  $I$  задаёт четырёхугольник, который мы будем называть сбалансированным. Определим отображение  $f$ , которое ставит в соответствие сбалансированному четырёхугольнику  $Q$  сбалансированный четырёхугольник  $Q'$  с углами, численно равными сторонам четырёхугольника  $Q$ . Отображение  $f$  задаёт динамическую систему на пространстве сбалансированных четырёхугольников. В работе изучаются свойства этой системы.

## Abstract

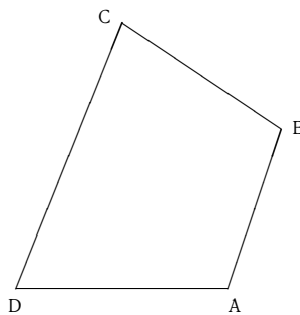
*Yu. Yu. Kochetkov, A dynamical system in the space of convex quadrangles, Fundamentalnaya i prikladnaya matematika, vol. 25 (2024), no. 2, pp. 183–188.*

Let us consider a family  $F(\alpha, \beta, \gamma, \delta)$  of convex quadrangles in the plane with given angles  $\{\alpha, \beta, \gamma, \delta\}$  and with the perimeter  $2\pi$ . Such a quadrangle  $Q \in F(\alpha, \beta, \gamma, \delta)$  can be considered as a point  $(x_1, x_2, x_3, x_4) \in \mathbb{R}^4$ , where  $\{x_1, x_2, x_3, x_4\}$  are lengths of edges. Then to  $F$  there corresponds a finite open segment  $I \subset \mathbb{R}^4$ . A quadrangle in  $F$  that corresponds to the midpoint of  $I$  is called a balanced quadrangle. Let  $M$  be the set of balanced quadrangles. The function  $f: M \rightarrow M$  is defined in the following way: angles of the balanced quadrangle  $Q'$ ,  $Q' = f(Q)$ , are numerically equal to edges of  $Q$ . The map  $f$  defines a dynamical system in the space of balanced quadrangles. In this work, we study properties of this system.

## 1. Введение

В данной работе предпринята попытка построить что-то вроде двойственности на пространстве выпуклых четырёхугольников. В отличие от конструкций работ [1, 2], мы, аналогично [3], изучаем «двойственность» между углами и сторонами. Точнее, мы рассматриваем выпуклый четырёхугольник с периметром

$2\pi$  и переходим к новому четырёхугольнику с периметром  $2\pi$ , углы которого численно равны длинам сторон исходного четырёхугольника. Новый четырёхугольник, однако, не определён однозначно. Чтобы добиться однозначности, мы введём понятие сбалансированного четырёхугольника и будем работать именно с такими четырёхугольниками.



Пусть нам известны углы выпуклого четырёхугольника  $ABCD$ :  $\angle A = \alpha$ ,  $\angle B = \beta$ ,  $\angle C = \gamma$  и  $\angle D = \delta$ . Обозначим через  $x_1, x_2, x_3, x_4$  длины сторон  $DA, AB, BC$  и  $CD$  соответственно,  $x_1 + x_2 + x_3 + x_4 = 2\pi$ . Такому четырёхугольнику мы ставим в соответствие точку в пространстве  $\mathbb{R}^4$  с координатами  $(x_1, x_2, x_3, x_4)$ . Семейство же  $F(\alpha, \beta, \gamma, \delta)$  таких выпуклых четырёхугольников задаёт конечный открытый интервал  $I$  в этом пространстве.

**Определение 1.** Четырёхугольник из семейства  $F(\alpha, \beta, \gamma, \delta)$ , отвечающий середине интервала  $I$ , мы будем называть *сбалансированным*.

Обозначим через  $M$  множество сбалансированных четырёхугольников и определим отображение  $f: M \rightarrow M$ .

**Определение 2.** Отображение  $f$  ставит в соответствие сбалансированному четырёхугольнику  $Q \in M$  сбалансированный четырёхугольник  $Q'$ , углы которого (в порядке обхода против часовой стрелки) численно равны длинам сторон четырёхугольника  $Q$  (перечисленным в порядке обхода против часовой стрелки).

Нас интересует динамика отображения  $f$ .

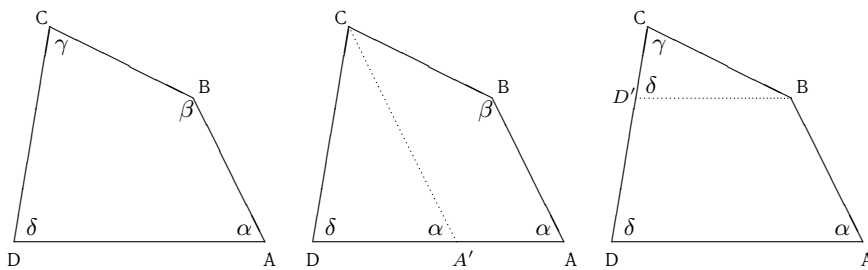
Для четырёхугольника общего положения его итерации сходятся к 2-циклу ( $Q_1 \leftrightarrow Q_2$ ), где четырёхугольники  $Q_1$  и  $Q_2$  различаются лишь направлением обхода (углы четырёхугольника  $Q_1$  указаны в разделе 4). Это утверждение имеет эмпирический характер.

Два случая особого поведения рассмотрены в разделе 3:

- квадрат является неподвижной отталкивающей точкой отображения  $f$ ;
- итерации четырёхугольника с углами  $(\alpha, \beta, \alpha, \delta)$  сходятся к притягивающему 2-циклу.

## 2. Явные формулы

Пусть  $\alpha, \beta, \gamma$  и  $\delta$  — углы выпуклого четырёхугольника, перечисленные в порядке обхода против часовой стрелки. Из двух пар углов —  $\{\delta, \alpha\}$  и  $\{\beta, \gamma\}$  — сумма углов в одной паре больше  $\pi$ , а в другой меньше  $\pi$ . То же самое справедливо для пар  $\{\alpha, \beta\}$  и  $\{\gamma, \delta\}$ . Пусть  $\alpha + \delta < \pi$  и  $\gamma + \delta < \pi$ . Деформации четырёхугольника с этими углами (при сохранении периметра) дают нам два треугольника периметра  $2\pi$ , которые являются концевыми точками интервала  $I$ .



На рисунке слева показан выпуклый четырёхугольник с заданными углами  $\alpha, \beta, \gamma$  и  $\delta$ . Здесь длины сторон  $DA, AB, BC$  и  $CD$  равны  $x_1, x_2, x_3$  и  $x_4$  соответственно. На рисунке посередине показан результат вырождения четырёхугольника  $ABCD$  в треугольник  $A'CD$  (здесь  $x_3 = 0$ ), а на рисунке справа показан результат вырождения четырёхугольника  $ABCD$  в треугольник  $BCD'$  (здесь  $x_2 = 0$ ).

Стороны  $x'_1, x'_2, x'_3, x'_4$  вырожденного четырёхугольника  $A'CD$  равны

$$x'_1 = \frac{2\pi \cdot \sin(\alpha + \delta)}{\sin(\alpha) + \sin(\delta) + \sin(\alpha + \delta)}, \quad x'_2 = \frac{2\pi \cdot \sin(\delta)}{\sin(\alpha) + \sin(\delta) + \sin(\alpha + \delta)}, \\ x'_3 = 0, \quad x'_4 = \frac{2\pi \cdot \sin(\alpha)}{\sin(\alpha) + \sin(\delta) + \sin(\alpha + \delta)}.$$

Стороны  $x''_1, x''_2, x''_3, x''_4$  вырожденного четырёхугольника  $BCD'$  равны

$$x''_1 = \frac{2\pi \cdot \sin(\gamma)}{\sin(\gamma) + \sin(\delta) + \sin(\gamma + \delta)}, \quad x''_2 = 0, \\ x''_3 = \frac{2\pi \cdot \sin(\delta)}{\sin(\gamma) + \sin(\delta) + \sin(\gamma + \delta)}, \quad x''_4 = \frac{2\pi \cdot \sin(\gamma + \delta)}{\sin(\gamma) + \sin(\delta) + \sin(\gamma + \delta)}.$$

Теперь стороны сбалансированного четырёхугольника с этими углами равны

$$x_1 = \frac{x'_1 + x''_1}{2}, \quad x_2 = \frac{x'_2 + x''_2}{2}, \quad x_3 = \frac{x'_3 + x''_3}{2}, \quad x_4 = \frac{x'_4 + x''_4}{2}. \quad (1)$$

**Предложение 1.** Пусть  $\varphi > 0, \psi > 0, \varphi + \psi < \pi$ . Тогда

$$\frac{\sin(\varphi)}{\sin(\varphi) + \sin(\psi) + \sin(\varphi + \psi)} < \frac{1}{2}, \quad \frac{\sin(\varphi + \psi)}{\sin(\varphi) + \sin(\psi) + \sin(\varphi + \psi)} < \frac{1}{2}.$$

**Доказательство.** Имеем

$$\frac{\sin(\varphi + \psi)}{\sin(\varphi) + \sin(\psi) + \sin(\varphi + \psi)} = \frac{\cos \frac{\varphi + \psi}{2}}{\cos \frac{\varphi + \psi}{2} + \cos \frac{\varphi - \psi}{2}}.$$

Так как

$$\left| \frac{\varphi - \psi}{2} \right| < \frac{\varphi + \psi}{2},$$

то

$$\cos \frac{\varphi - \psi}{2} > \cos \frac{\varphi + \psi}{2},$$

и мы получаем второе неравенство.

Производная знаменателя

$$(\sin(\varphi) + \sin(\psi) + \sin(\varphi + \psi))'_{\psi} = 2 \cdot \cos \frac{\varphi}{2} \cdot \cos \frac{2\psi + \varphi}{2}$$

положительна на интервале  $0 < \psi < (\pi - \varphi)/2$  и отрицательна на интервале  $(\pi - \varphi)/2 < \psi < \pi - \varphi$ . Следовательно, дробь максимальна на концах интервала  $0 < \psi < \pi - \varphi$ . Но на концах интервала дробь равна  $1/2$ .  $\square$

**Следствие 1.** У сбалансированного четырёхугольника есть две смежные стороны, длины которых не превышают  $\pi/2$ .

**Доказательство.** Действительно, это стороны  $x_2$  и  $x_3$ .  $\square$

**Следствие 2.** Выпуклый четырёхугольник с периметром  $2\pi$ , у которого длины трёх сторон превышают  $\pi/2$ , не может быть сбалансированным.

### 3. Особые случаи

Если у сбалансированного четырёхугольника  $Q$  равны две противоположные стороны, то, как следует из формул (1), набор длин сторон четырёхугольника  $Q'$  таков:  $(a, a, b, b)$ ,  $a < b = \pi - a$ . Это означает, что четырёхугольник  $Q''$  является равнобочной трапецией с длинами сторон

$$\left( \frac{\pi}{2 + 2 \cos(a)}, \frac{\pi}{2}, \frac{\pi}{2 + 2 \cos(a)}, \frac{\pi}{2} + \frac{\pi \cdot \cos(a)}{1 + \cos(a)} \right).$$

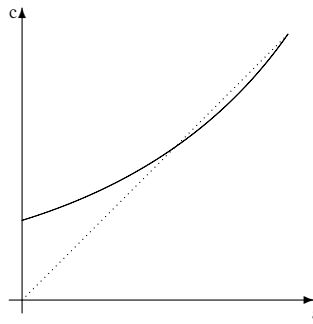
У полученного четырёхугольника две противоположные стороны равны, следовательно,  $f$  отображает его в ромбовидный четырёхугольник со сторонами  $(c, c, d, d)$ . Таким образом,  $f$  отображает равнобочные трапеции в ромбовидные четырёхугольники, а их — в равнобочные трапеции.



Равнобочная трапеция с углами  $(a, a, b, b)$ ,  $a < b$ , после двукратного применения отображения  $f$  переходит в равнобочную трапецию с углами  $(c, c, d, d)$ , меньший угол  $c$  которой равен

$$c = \frac{\pi}{1 + \sin \frac{\pi}{2+2\cos(a)} + \cos \frac{\pi}{2+2\cos(a)}}.$$

На интервале  $(0, \pi/2)$  функция  $c(a)$  возрастает от значения  $\pi/(\sqrt{2} + 1) \approx 1,3$  до значения  $\pi/2$  и выпукла вниз. Её график в квадрате  $[1,4, \pi/2] \times [1,4, \pi/2]$  выглядит следующим образом (масштаб не соблюден).



Пересечение кривой и прямой  $c = a$  происходит в точках  $a \approx 1,4834215876937$  и  $a = \pi/2$ . Первая точка задаёт притягивающий 2-цикл (производная в этой точке приблизительно равна 0,8). Точка  $\pi/2$  — отталкивающая стационарная точка, квадрат (производная в этой точке приблизительно равна 1,2).

**Замечание.** Притягивающий 2-цикл выглядит так (указаны углы):

$$\begin{aligned} (1,48342\dots, 1,48342\dots, 1,65817\dots, 1,65817\dots) &\leftrightarrow \\ &\leftrightarrow \left(1,44472\dots, \frac{\pi}{2}, 1,44472, \frac{\pi}{2} + 0,25214\dots\right). \end{aligned}$$

## 4. Ситуация общего положения

Вычисления показывают, что при итерациях отображения  $f$  четырёхугольник общего положения попадает в притягивающий 2-цикл  $Q_1 \leftrightarrow Q_2$ , где четырёхугольники  $Q_1$  и  $Q_2$  зеркально конгруэнты. Углы  $\alpha$ ,  $\gamma$  и  $\delta$  определяются соотношениями

$$\begin{aligned} \alpha &= \frac{\pi \cdot \sin(\alpha + \delta)}{\sin(\alpha) + \sin(\delta) + \sin(\alpha + \delta)} + \frac{\pi \cdot \sin(\gamma)}{\sin(\gamma) + \sin(\delta) + \sin(\gamma + \delta)}, \\ \delta &= \frac{\pi \cdot \sin(\delta)}{\sin(\alpha) + \sin(\delta) + \sin(\alpha + \delta)}, \\ \gamma &= \frac{\pi \cdot \sin(\delta)}{\sin(\gamma) + \sin(\delta) + \sin(\gamma + \delta)} \end{aligned}$$

и равны

$$\begin{aligned}\alpha &\approx 1,54819305248669225152933985324, \\ \beta &\approx 1,82405188512759300508614890573, \\ \gamma &\approx 1,41515953031350909799654144250, \\ \delta &\approx 1,49578083925179212231325656509.\end{aligned}$$

Но все частные производные компонент отображения  $f$  по переменным  $\alpha, \beta, \gamma$  меньше единицы по модулю, но сходимость к 2-циклу — эмпирический факт, требующий объяснения.

## Литература

- [1] Busjatskaja I., Kochetkov Yu. Dual quadrangles in the plane. — 2019. — arXiv:1911.09321.
- [2] Cantarella J., Needham T., Shonkwiler C. Random triangles and polygons in the plane // Amer. Math. Monthly. — 2019. — Vol. 126, no. 2. — P. 113–134.
- [3] Kochetkov Yu. Two dynamical systems in the space of triangles. — 2021. — arXiv: 2101.03734.